Х, № 4, 1957 Физико-математические науки

ФИЗИКА

В. Ш. Камалян

Об обратном потоке протонов регистрируемых магнитным масспектрометром

1. В космическом излучении, помимо основного потока частиц идущих сверху, существует слабый поток протонов, π-мезонов и аругих частиц, возникающий в веществе от взаимодействия космического излучения и направленный снизу вверх. При масспектрометрических измерениях указанные частицы будут регистрироваться как частицы имеющие противоположный знак заряда. Так например: протоны возникающие в веществе, расположенном под магнитным зазором, и идущие снизу, будут регистрироваться как отрицательно заряженные частицы. При наличии генератора над магнитным зазором такие протоны, останавливаясь в веществе, могут имитировать "зарождение" отрицательно заряженной частицы в данном генераторе от нейтрального компонента космического излучения.

Одновременно известно, что в генераторе, от нейтрального излучения, зарождаются также отрицательно заряженные частицы —преимущественно π-мезоны; поэтому выделить обратный поток протонов остановившихся в генераторе от отрицательно заряженных частии, зарожденных в том-же генераторе, при масспектрометрических измерениях—весьма трудная задача, если отсутствуют специальные измерения по определению понизующей способности частиц. Однако, при определенных условиях, можно выделить обратный поток протонов от отрицательно заряженных генерированных частиц и без нонизационных измерений; пользуясь импульсными спектрами вышеуказанных частиц.

Импульсный спектр отрицательно заряженных частиц регистрируемый масспектрометром, поскольку частицы зарождены в генераторе от нейтрального компонента космического излучения, можно рассмотреть как наложение двух спектров, а именно:

- а) импульсного спектра отрицательно заряженных частиц, возникающих в данном генераторе и,
- б) импульсного спектра протонов идущих в обратном направлевии и остановившихся в том-же генераторе (при достаточно толстых тенераторах).

В случае очень тонкого генератора, из общего спектра обратных протонов будет вырезываться узкий интервал импульсов, соответст-

вующий протонам ионизационно-остановившимся в данном генераторе. При этом в импульсном спектре отрицательно заряженных частив, зарожденных в данном генераторе, появится максимум, обусловленный остановками обратных протонов. Разумеется, что при изменении ионизационного пробега максумум в импульсном спектре так-же соответственно сдвинется.

В течение 1953—54 гг. в лаборатории Большого Постоянного Магнита Арагацской Высотной Станции на высоте 3200 м над уровнем моря изучались вопросы зарождения частиц от нейтрального компонента космического излучения в генераторах разных толшин [1, 2].

Магнитный масспектрометр был дополнен специальным годоскопическим устройством состоящим из 10 групп координатных счетчиков Гейгера — Мюллера позволяющих выделить случаи зарождения заряженных частиц от нейтрального компонента космического излучения, изучать пространственную картину зарождения, выделить случаи звездообразования от одиночного прохождения частиц и туд На фиг. 1 приведен разрез магингного масспектрометра с дополнительным годоскопическим устройством в двух взаимно перпенли кулярных проекциях. С помощью координатных счетчиков создансвоеобразная коробка с шестью отсеками А, Б, В, Г, Д, Е, внутри которых размещались блоки вещества.

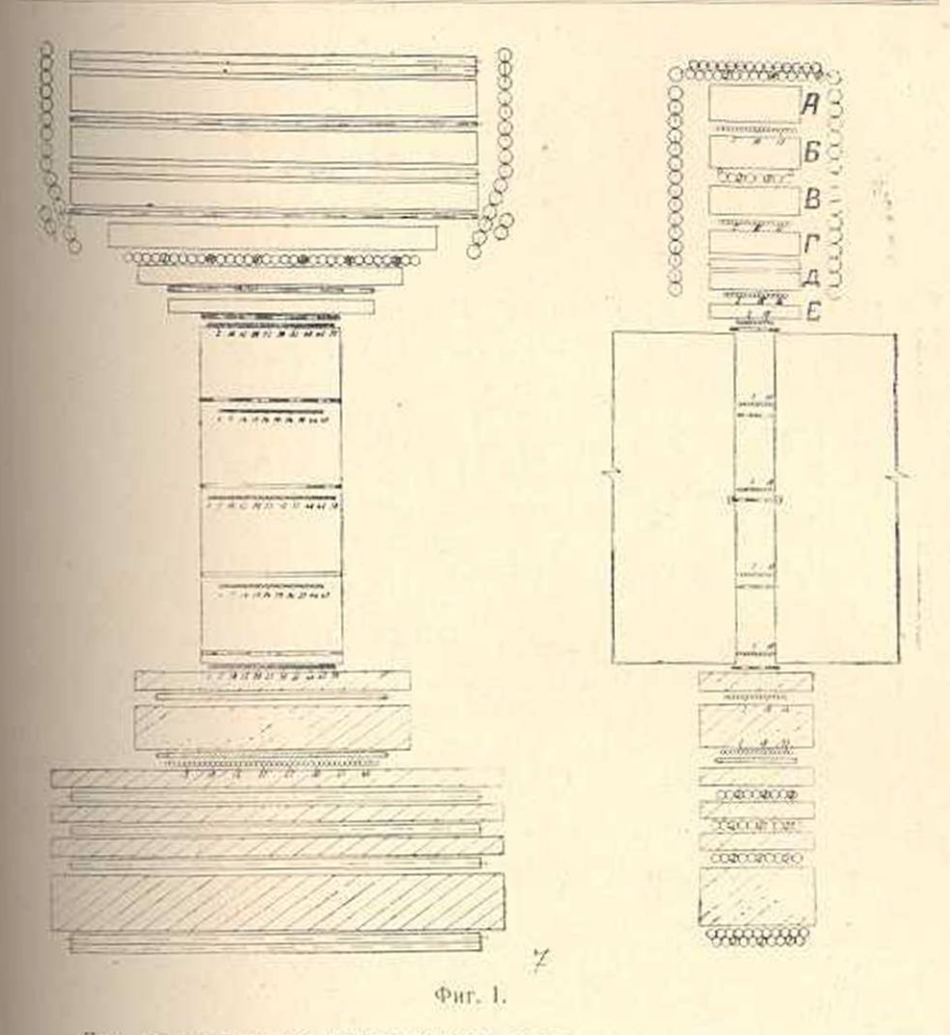
Частица считалась зарожденной от нейтрального излучения соответствующем отсеке, если отсутствовало срабатывание в счетчи ках перекрывающих данный отсек сверху, а также в боковых и тор цевых группах счетчиков.

Далее частица исследовалась обыкновенным способом: по мат нитному отклонению определялись импульс и знак частицы. Для ча стиц, остановившихся в поглотителях, по пробегу и импульсу опре делялась их масса.

Среднеквадратичная ошибка в измерении импульса частиц в превышала 3°/0 при импульсе 2,108 эв/с и 10°/0 при 10° эв/с.

Распределение и толщина вещества для соответствующих отсе ков приведены в таблице 1.

Таблица Количество вещества в отсеках в см Продолжи-NE No тельность намерения пленок A Б B Г Д E в часах 163 - 3187 св. 6 CB. 560 403-435 256 7 cm. 6 cs. 464-2494 0,3 медь 3 436-463 132 7 cu. 6 ca. 0,15 алюм. 614 4 495-597 7 cs. 6 cs. 5 cu. 5 598-637 193 S CB. 7 CB. 0.3 медь 146 6 638 668 8 cm 7 cB. 0,25 злим. 669-735 320 S ca.



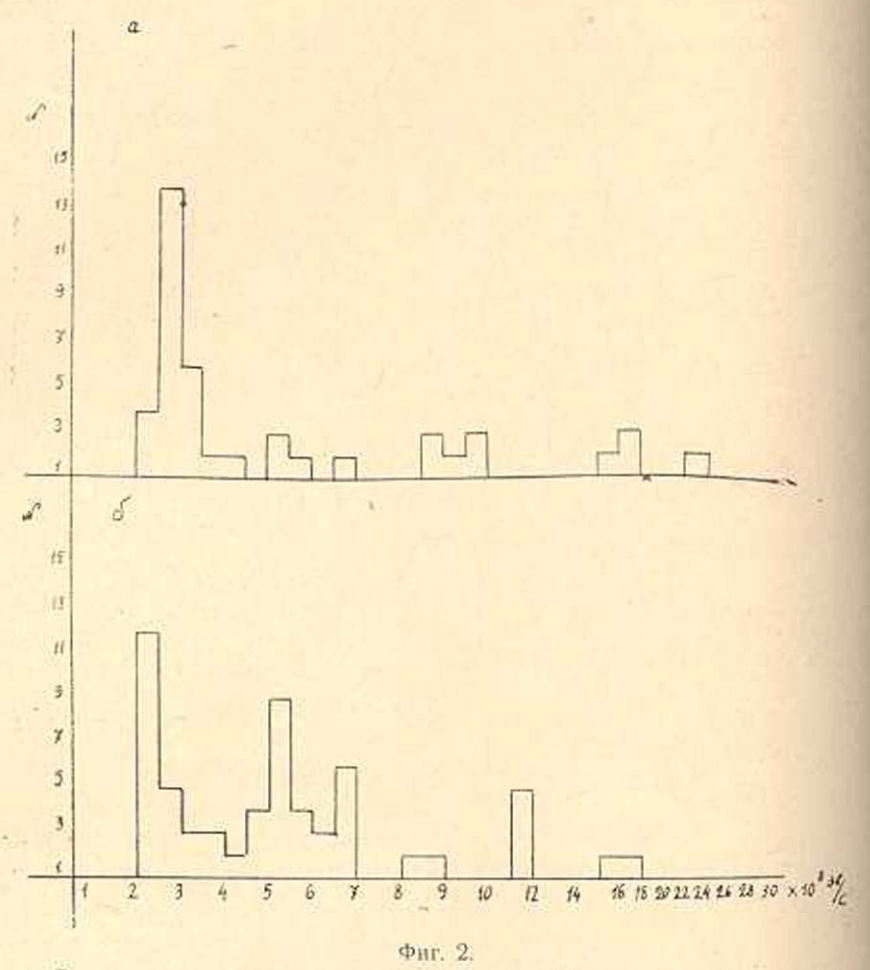
Для выделения из всего потока зарожденных частиц возникаюших в генерационной коробке от нейтрального компонента космического излучения, тех частиц, которые зародились в очень тонких слоях вещества, были отделены случаи зарождения частиц в отсеках не содержащих свинцовых блоков (таблица 1).

За 2220 часов измерений в интервале импульсов 2.10⁸ эв/с—3.10⁸ эв/с был зарегистрирован 631 случай, положительно и 86 случаев отрицательно заряженных частиц. Для выяснения вопроса возникают ли указанные частицы в веществе стенок счетчиков, или имеют иное происхождение, в сериях измерений 3 и 6 в отсеках "Е" и "В" было помещево 3,2 гр/см² меди и алюминия. С увеличением вещества пропорционально увеличивались и количество зарождениых частиц в соответствующих отсеках, указывая тем самым, что паблюдаемые частицы зарождаются в стенках счетчиков толщиной 0,12—0,15 мм.

Рассмотрим более подробно отрицательно заряженные частицы,

зарожденные в меди общей толщиной 2-2,5 мм., расположенных под свинцовыми блоками толщиной 10-18 см.

На фиг. 2 приведены распределения отрицательно заряженных частиц по импульсам отобранные в отдельные группы по следующим признакам:



a—Отрицательно заряженные частицы зарожденные в однолучевых звездах. δ —Отрицательно заряженные частицы зарожденные в многолучевых звездах.

Группа "а": отрицательно заряженные одиночные частицы возникающие в отсеках без сопровождающих частиц— однолучевые звезды.

Группа "б": отрицательно заряженные частицы возникающие в отсеках в сопровождении более одной частицы—многолучевые звезды.

Как видно из фиг. 2 распределение частиц в двух группах отличается по форме. Основная часть частиц возникающих в многолучевых звездах распределена в более широком интервале импульсов и группируется вокруг значений $P=2-2.5\cdot 10^8$ эв/с, $P=5-5.5\cdot 10^8$ эв/с. В случае однолучевых звезд, большинство частиц группируется в узком интервале импульсов, вокруг значений $P=2.5-3\cdot 10^8$ эв/с.

Сравнивая средние значения импульса частиц для групп "а" и "б" зарожденных в разных отсеках в интервале $P=2-4\cdot 10^8$ 38/c, видям, что для частиц группы "а" (таблица 2) среднее значение импульса с удалением отсека от магнитного зазора увеличивается в то время, как для частиц группы "б" определенной закономерности не наблюдается.

Таблица 2

Отсеки	c	среднее значение им- пульса в 10° эв/с								
	ų,									
В	3.5	29 3	3,59	Y.		-1				3,44
T	2,		3,25 2,4	2,8	35 2,	61 3	,33	3,5	27	2,81
1	2,	67	2,81	2,8	3 2.	28				2,81
E			2,92 3,33	2,3	53 2,	66 2	,52	2,	53	2,7
	4	асти	цы за	Carlo Control of the	денные х звез		ного	ауч	e-	
В	2,52	2,4	7 2	41	2,8	2,7	1 3	0	2,5	2,61
r	2,52	3.6	ST CITY	93		1 1	1		100	3,27
Л	2,2	2,2	3	14	3,93	2,2	2	06	2,28	2,6
E	3,29	2,2	21111-	120		- Ma	100		10	2,79

Наблюдаемая для частиц группы "а" зависимость среднего значения импульса, от места зарождения, можно объяснить ионизационными остановками протонов идущих снизу вверх, так как с удалением отсека увеличивается и ионизационный пробег.

Укажем, что остановки обратных протонов будут регистрироваться как зарождение частицы в однолучевых звездах, в отличие от π-мезонов возникающих в ядерных расщеплениях и в большинстве случаев регистрируемых, как частицы возникающе в многолучевых звездах.

Любопытно сравнение частиц групп "а" и "б" по взаимодействию с веществом в нижних поглотителях. В группе "а" в интервале импульса Р = 2=4·108 эв/с наблюдены 22 частицы; из них 19 провзаимодействовало с веществом в первых двух поглотителях толщиной 12 см графита. При чем, под взаимодействием подразумевается: а) остановка частицы, б) рассеивание на угол больше чем 15°, в) образование звезд. В группе "б" наблюдены 19 частиц в том же интервале импульса, из которых только 6 провзаимодействовало в тех же поглотителях.

Допуская, что все наблюдаемые нами отрицательно заряженные частицы группы "а" и "б" являются т-мезонами, можно определить ослабление т-мезонного пучка в поглотителях из-за ядерного взаимодействия. π -мезоны с импульсом $P=2-4\cdot 10^8$ зв/с в графитовом поглотителе толщиной 12 см могут остановиться только из венонизационных потерь энергии.

Количество π -мезонов выходящих из поглотителя $N=N_0 I^{-1}$ где N_0 —поток падающих частиц на поглотитель, N—число честиц прошедших поглотитель без взаимодействия, x—толщина поглотителя и λ —длина ядерного пробега вещества поглотителя.

Учитывая, что в интервале импульса $P = 2 - 4 \cdot 10^8$ *эв/с* сечение ядерного взаимодействия π -мезонов близко к геометрическому $\lambda = 36$ см, получим величину первичного потока, если известно количество частиц N прошедших через поглотитель толщиной 12 см.

Для частиц группы "б" имеем N=13, отсюда $N_0=18.5$. На опыте наблюдены 19 частиц, т. е. все частицы в группе "б" являются π -мезонами. Для группы "а" N=3, $N_0=4.5$, на опыте наблюдены 22 частицы.

В таблице 3 приведены все 19 случаев частиц группы "а", провзаимодействовавших в 12 см графита. В графе 3 приведены импульпы частиц. В графах 4 и 5 приведены пробеги и масса частиц в предсоложении, что отрицагельно заряженная частица зародилась в стекках счетчиков генерационной коробки и остановилась в нижних поглотителях из-за ионизационных потерь энергии. Для восьми случаев определение массы оказалось невозможным, из-за неионизационных остановок частиц.

В графах 6 и 7 приведены пробег и масса частиц в предположении, что положительно заряженнай частица зародилась в нижних поглотителях и остановилась в стенках счетчиков генерационной коробки.

При чем можно вычислить массу для всех 19 частиц.

Сравнивая значения полученные в графах 5 и 7 видим, что в графе 7 разброс в значениях масс меньше, чем в графе 5 и значения масс группируются вокруг значения массы протона.

Перечисленные факты дают основание утверждать, что некоторые из отрицательно заряженных частиц возникающих в однолучевых звездах, от нейтрального компонента космического излучения, являются протонами, идущими в обратном направлении—снизу вверх и остановившимися в данном генераторе.

Можно оценить вклад вносимый обратными протонами в общий поток отрицательно заряженных частиц, возникающих в генераторе от нейтрального компонента космического излучения. Возьмем отри-

Таблина 3

М. пленок и калрон Напульс ча- стицы и гория и		Импульс ча- стипы в 108 эв/с	Пробег для отрицат, заряженных частиц в см свинца	Масса для от- рицат, заряжен, частиц и эл, массах	Пробег для положительно заряжен, частип в мм свинцах	Масса для по- ложительно па- ряженных ча- стиц в эл. массах	
1	2	3	4	5	6	7	
1	171-1	2,59	2-12	910-2050	2,0	2050	
2	201-5	3,33	7	3	3,5	2240	
.3	21625	3,33	9	2	2,0	2830	
4	249-6	3,37	12-33	840-1330	3,5	2240	
-	27315	2,98	2-12	1070-2300	2,5	2300	
6.	420-4	2,4	2-12	840-1800	3,5	1460	
7	437—56	2,53	3	3	2,0	2050	
8	459-113	2,41	2-12	840-1800	3,5	1460	
9	463-3	2,61	13-35	520-900	3,5	1700	
10	526-42	2,54	3	2	2,0	1950	
11	527-6	2,67	2-12	970-2050	2,5	1950	
12	535-30	2,32	12-32	470—780	3,5	1360	
13	701-70	3,25	7	3:	3,5	2240	
14	613-70	2,92	13,5-36	600-1000	2,0	2440	
15	685-20	2,66	3	5	2,0	2140	
16	689-2	3,59	2-12	1440-3200	4.5	2340	
17	705-35	2,52	2	7/	2,0	1950	
18	768-59	2,81	12-32	640-1030	2,5	2140	
19	770-79	2,53	3	3	2,0	1950	

пительно заряженные одиночные частицы зарожденные в стенках счетчиков и в нижних блоках свинцового генератора толщиной 5—7 см.

За 2220 часов измерений в интервале импульса $P=2-5\cdot 10^8$ ss/c зарегистрировано 77 частиц. Из них: в $12\,c$ м графите провзаимодействовано 50 и прошло без видимого взаимодействия 27. За то же время с импульсами превышающими $P=5\cdot 10^8$ ss/c зарегистрировано 56 частиц. Из них в графите толщиною $12\,c$ м провзаимодействовало 19 и прошло без видимого взаимодействия 37. По количеству не взаимодействовавших чистиц определен общий поток π -мезонов приведенный в таблице 4.

Как видно из таблицы 4 в интервале импульсов $P=2-5\cdot 10^8$ 98/с, из 77 частиц 39 являются π -мезонами, остальные 38 частиц могут Taблица 4

Отрицательно заряжен- ше одиночные частицы	Всего	Провзаимодей- ствовали в гра- фите толщиной 12 см	DELENSION	Ожидаемый поток п-ме- зонов	Другие частицы
2-100 < P < 5.100 98/c	77	50	27	36±6,2	38
P>5.10* 98/c	56	19	37	52±7,2	4

быть обратными протонами и частично К-мезонами; Однако, нужно предполагать, что доля последних невелика, так как они в основном зарождаются в многолучевых звездах и составляют небольшую часть от т-мезонов в данном интервале импульса.

Магнитным-масспектрометром за 2220 часов измерении в интервале импульса $P=2-5\cdot 10^8$ 98/c зарегистрирован 251 отрицательно зареженияя частица зарожденная в однолучевых и многолучевых звездах от нейтрального компонента космического излучения в свинцових генераторах толщиной 10-18 см. Из них 38 могут быть приняты ка обратные протоны, что составляет около $15^{\,0}/_{\!0}$ от всех отрицательно заряженных частиц зарожденных в генераторе от нейтрального компонента в данном интервале импульсов и при указанных интервале импульсов и при указанных интервале импульсов и толщине генератора равна 0.017 ± 0.0028 части в час, при телесном угле ограниченном магнитным зазором в $70\times30\times8$ см.

Частота регистрации протонов и π -мезонов зарожденных в свящовом генераторе толщиной 10-18 см, от нейтрального компонент космического излучения, в интервале импульсов $P=2-5\cdot 10^4$ эмпри том же телесном угле составляет соответственно 0.45 ± 0.027 в 0.096 ± 0.0066 частиц/час.

2. В течение 1955 года продолжались измерения по изучения частиц зарожденных в свинцовых генераторах от нейтрального компонента космического излучения. Существующая регистрирующая сестема была дополнена пятислойным пропорциональным счетчиков позволяющим определить ионизирующую способность частицы с точностью 15%. Таким образом стало возможным проверить правильность выводов, высказанных выше на основании анализа экспериментального материала 1953/54 гг. о существовании обратного поток протонов. Были произведены измерения при разных толщинах генератора, для приближения условий эксперимента к условиям 1954 год В одной серии измерений в качестве тенератора были использовани сравнительно тонкие свинцовые листы толщиной 4—10 мм, с суммарной толщиной 20, 30, 50 мм.

Все отрицательно заряженные частицы, зарожденные в свише вых генераторах от нейтрального компонента космического излучния, отобранные и обработанные также, как и в 1953—1954 гг., были условно разделены на две группы:

- а) частицы зарожденные в однолучевых звездах, и
- б) частицы зарожденные в многолучевых звездах.

На фиг. 3, 4 приведены распределения отрицательно заряжению частиц по группам "а" и "б" в зависимости от импульса и нонизрующей способности. Сплошными кривыми проведены зависимость вонизирующей способности частиц от импульса для π, К-мезонов, протонов, дейтонов. При сравнении этих двух групп видно, что частицы возникаюшие в многолучевых звездах (фиг. 3) обладают ионизирующей способностью соответствующей частицам с массой π-мезонов. Повышенная вонизация в трех случаях обусловлена прохождением через проворциональный счетчик нескольких частиц.

В случае однолучевых звезд (фиг. 4) выделяются две группы частии, обладающих резко отличающимися ионизирующими способностями. Одна группа—это π-мезоны возникающие в генераторах. Вторая группа обладает значительно повышенной ионизирующей способностью, соответствующей частицам с массой протона.

В таблице 5 приведены более подробные данные об этих частицах. В графе 4 приведены импульсы, в графе 7—массы частиц вычисленные по импульсу и ионизации. В графе 8 указан ионизационный пробег частицы в предположении, что она является обратной частицей, остановившейся в генераторе. В графе 9 вычислены масса по импульсу и пробегу для обратных частиц.

Как видно из табл. 5, значение массы частицы вычисленное двумя независимыми способами, в пределах экспериментальной ошибки, совпадает со значением массы протона*.

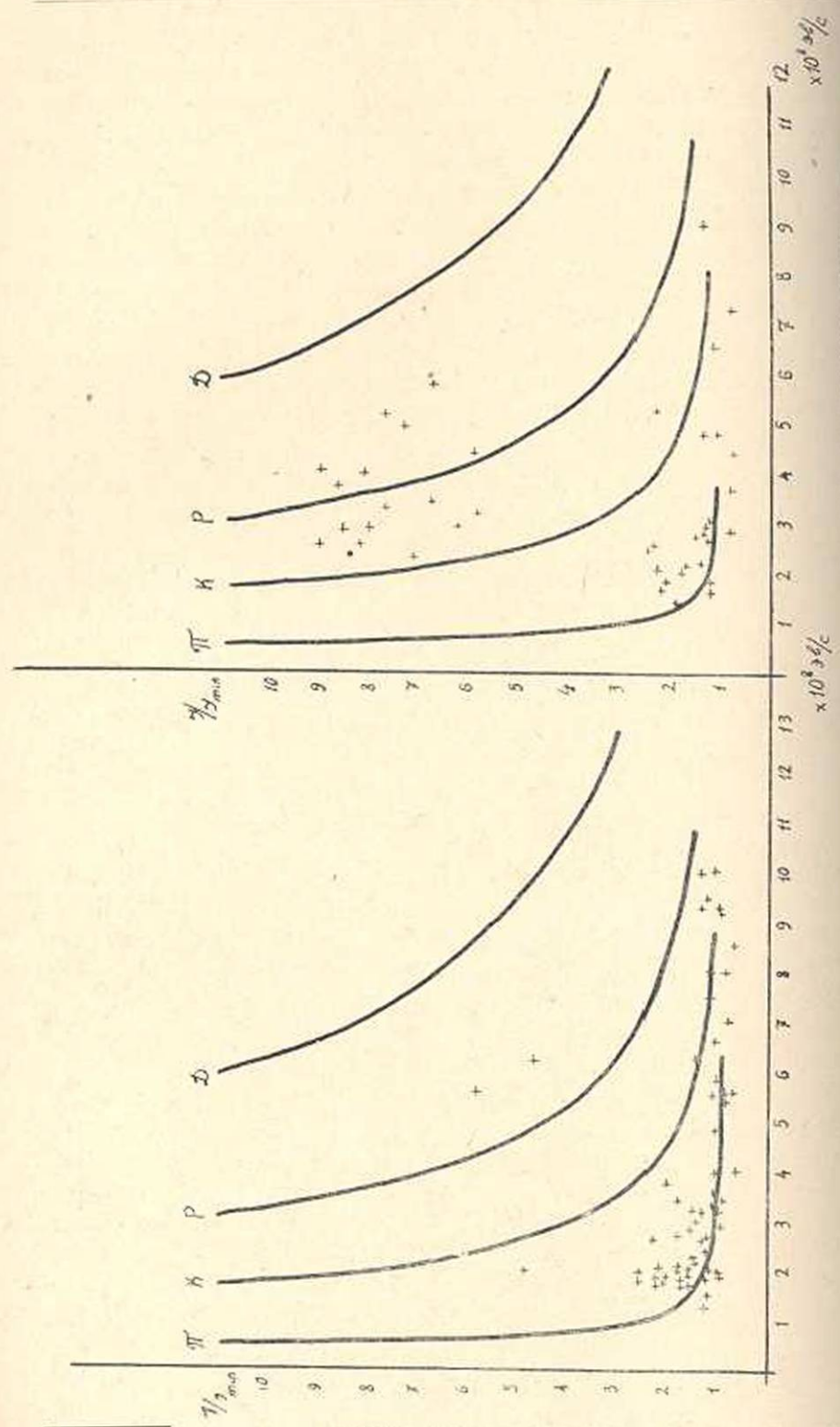
Таблица 5

NeNt m.m.	№ пленок и кадров	Суммарная толщ, гене- ратора в ж.и	Px - 101	Экспе- рим. Д/Лшіп	Ожида- ем, J/J _{min} для п-ме- зонов	Мј в электрон. массах	Пробег в жж свин- ца	Мв в элек- тронных массах
1	2	3	4	5	6	70	8	9
1)	306-14	30	2,55	9,1	1,2	1400	2-6	1650 ± 400
2	315-10	30	2,3	7.2	1,2	1100	2-6	1560 ±400
30	324-21	30	5,17	7,8	1,05	2600	12-18	2550 ± 400
4	325-16	30	2,57	8,3	1,2	1350	26	1650±400
5	326-14	30	4,95	7,4	1,05	2480	6-12	2900 ± 400
6	379-9	50	4.0	8,2	1.1	2050	2-10	3000 ± 1000
7	388-4	50	5,8	6,8	1.0	2800	20-30	2250 ± 250
#	300-2	50	2,9	8,1	1,2	1370	2-10	2050±450
8	100-5	50	3,74	8,75	1,1	2000	2-14	2650±950
10:	43557	20	3,48	6,8	1,1	1500	2-12	2350 ± 850
11	450 - 74	20	4,03	9,1	1,1	2100	25	3350 ± 650
12	86660	250	3,25	5,9	1,15	1450	2-32	1925 ± 1075
13	8815	250	2,92	6,32	1,1	1300	2-32	1600 ± 900
14	97-142	250	3,3	7,75	1,15	1580	2-32	1925 ± 1095
15	164-163	250	4,36	5,95	1,1	1880	2 - 32	2800±1600
16	187—7	250	3,81	7,25	1.1	1840	2-32	2350 ± 1250
17	18815	250	2,86	8,66	1,2	1500	2-32	1600 ± 900

Ваниженное значение для Мј при импульсе P<3,5-10⁸ эвјс связано с огракаченими регистрирующей системы; начиная с определенного значения нонизации превидающего регистрирующие возможности системы, происходит отсечение нони.



II CARCASSINA MERIANA



зации, приводящее к уменьшению измеряемого значения понизации для данной стицы и соответственноск-занижению значения массы.

Все вышеуказанные факты дают нам основание утверждать, что существует поток обратных протонов, которые регистрируются магнатими масспектрометром как отрицательно заряженные частицы, позникающие в однолучевых звездах, причем, как правило, они являются малоэнергичными протонами обладающими импульсами меньшими чем 6.108 эв/с (таблица 4 и 5).

Частота регистрации обратных протонов меняется с изменением толщины генератора, что вполне закономерно, так как при этом изменяется поток ядерноактивного компонента. Так, при толщине генератора 2-5 см свинца, частота регистрации обратных протонов в витервале импулса $2-5\cdot10^8$ эв/с равна 0.018 ∓ 0.006 частица/час. При толщине 25 см равна 0.01 ± 0.0024 частица/час.

В заключение приношу глубокую благодарность А. И. Алиханяну за интерес к работе и за весьма ценные замечания, и Н. М. Кочарвну за участие в обсуждении результатов.

Институт физики АН Армянской ССР

Поступило 24 XII 1956

վ. Շ. Քամալյան

ՄԱԳՆԻՍԱԿԱՆ ՄԱՍՍՊԵԿՏՐՈՄԵՏՐԻ ԿՈՂՄԻՑ ԱՐՁԱՆԱԳՐՎՈՂ ՀԵՏԱԴԱՐՁ ՊՐՈՏՈՆՆԵՐԻ ՄԱՍԻՆ

UUTONONFU

Կոսմիկական ձառագայԹների մեջ, րացի վերևից ընկնող մասնիկների նինական հոսքից, դոյություն ունի նաև հետադարձ մասնիկների թույլ հար, ընդ որում այդ հետադարձ մասնիկները մագնիսական մասսպեկարոմեարի կողմից արձանագրվում են որպես հակառակ նշանի լիցջի մասնիկներ։

Այսպիսով, ձևատրարձ պրոտոնները արձանագրվում են որպես բացաստիան լիցը ունեցող մասնիկներ, ընդ որում, ենև մասոպեկտրոմետրի
փրա դրված է բավականին նյուն, ապա վերջիններս, կանգ առնելով նյունի
(դեներատորի) մեջ, իմիտացիայի են եննարկվում որպես բացաստիան
իցը ունեցող մասնիկների «ծնունդ» կոսմիկական ճառագայնների նեյտրալ կոմպոնենտի կողմից։ Միաժամանակ հայտնի է, որ նույն նեյտրալ
կոմպոնենտր նյունի մեջ ծնում է բացաստկան լիցը ունեցող մասնիկներ,
հինականում «ժեղոններ, որոնց անջատումը հետագարձ պրոտոններից
կովորոն է էրապերիմենտուլ մեծ դժվարունյուների հետ։

Օդտագործելով պղինձի չատ րարակ չերտերում նեյտրալ կոմպոնենտի կողմից ծնված բացասական լիցը ունեցող մասնիկները, որոնք ծնվել են ժիտնասագայի և րազմաճառագայի աստղերում, ցույց է տրված, որ միահատագայի աստղերում ծնված մասնիկների ղգալի մասը կազմում են հետագարծ պրոտոններ, ի տարրերություն րաղմաճառագայի աստղերի, որանդ ծնվում են «-մեդոններ։

Հետադարձ պրոտոնները կազմում են նեյտրալ կամպոնենտի կողմից ծնված բացասական լիցք ունեցող բոլոր մասնիկների մոտ 15%,-ը, եր դեներատորի (կապար) հաստութքյունը տատանվում է 10—18 ամ ստնմա ներում,

Հետադարձ պրոտոնների արձանագրժան համախականությունը կաբ Ճում է 0,017±0,0028 մասնիկ/ժամ գեներատորի նույն հաստության համար։

Հետադայում մասոպեկտրոմետրի և հեղաբերտ հարարերական հայ վիչի միջոցով կատարված իշերգացիոն չափուժենրով, ցույց է տրվակ որ միանառադայի տոտղերի դեպքում բացառական լիցք ունեցող մասնիկ ները բաղկացած են տարբեր իռնիզացիոն հատկություն ունեցող երկո խումը մասնիկներից, որոնցից առաջինները ունեն «-մեղոնին համապատասխանող իռնիդացիոն հատկություն, իսկ երկրորդ խումբը՝ պրոտմի մաստա ունեցող մասնիկների իռնիղացիոն հատկություն,

Բազմածառագայի աստղերում ծնված բացասական մասնիկներն ա արված են դ-մեցոններին համապատասիսանող իոնիդացիոն հատկունկանի

ЛИТЕРАТУРА

- 1. Камалян В. Ш. ДАН, т. 95, № 6, (1954).
- 2. Хримин А. В. Изв. АН СССР, сер., физ., т. 13, № 6 (1955).